



ارزیابی مناطق مستعد تغذیه آب زیرزمینی با روش MIF و با استفاده از GIS در دشت مرکزی خرم آباد

ناصر طهماسبی پور^۱, سمیرا قربانی نژاد^۲ و فاطمه فلاح^۳

۱- عضو هیئت علمی دانشگاه لرستان

۲- دانشجوی دانشگاه لرستان

۳- دانشجوی دانشگاه لرستان

چکیده:

باتوجه به افزایش جمعیت جهانی و کاهش منابع آب، مقدار آب دردسترس افراد به طور چشمگیری در حال کاهش است و اهمیت شناسایی مناطق مستعد برای تغذیه مصنوعی آبخوانها را بیش از پیش بالا برد است. در این تحقیق با استفاده از میزان اثر گذاری لایه‌های مختلف بر یکدیگر و روش عوامل چندگانه تاثیرگذار به تعیین مناطق دارای پتانسیل تغذیه آب زیرزمینی پرداخته شده است. در این روش ابتدا لایه‌های اثرگذار بر تغذیه آبخوان شامل: ارتفاع، شبب، جهت شبب، خاکشناسی، سنگ‌شناسی، کاربری اراضی، فاصله از رودخانه، شاخص رطوبت توپوگرافی و شاخص توان جریان شناسایی و در نرم افزار Arc GIS10.2 به شکل رقومی در آمدند. به منظور تعیین پتانسیل مناطق مختلف دشت خرم آباد برای تغذیه مصنوعی از روش عوامل چندگانه تاثیرگذار استفاده گردید. با توجه به اثرگذاری لایه‌های مختلف بر یکدیگر به هر اثرگذاری زیاد امتیاز ۱ و به هر اثرگذاری کم امتیاز ۵. داده شد. مجموع امتیاز هر لایه در این مرحله در امتیازات مربوط به هر طبقه از لایه‌های مجزا که بر اساس دانش شخصی تعیین شده بود ضرب شده و وزن نهایی هر لایه به دست آمد. با وزن نهایی به دست آمده نقشه پتانسیل تغذیه دشت مرکزی خرم آباد تهیه و نهایتاً به پنج طبقه کلاس یندی شد. به منظور تعیین صحت نقشه نهایی، از یکسان بودن سطح آب چاههای مشاهداتی که به طور تصادفی انتخاب شده بودند و طبقه به دست آمده از نقشه پتانسیل تغذیه مصنوعی که این چاهها در آن قرار داشتند استفاده شد. نتایج نشان دادند که برای تغذیه مصنوعی به طور کلی ۶۵٪ از کل دشت خرم آباد برای تغذیه آبخوان دارای شرایط متوسط تا خیلی خوب می‌باشد و بهترین منطقه برای این منظور در بخش شمال و شمال شرقی دشت خرم آباد قرار دارد.

کلمات کلیدی: تغذیه مصنوعی، دشت خرم آباد، GIS MIF

مقدمه

باتوجه به افزایش جمعیت جهانی و کاهش منابع آب، مقدار آب دردسترس افراد به طور چشمگیری در حال کاهش است و اهمیت شناسایی مناطق مستعد برای تغذیه مصنوعی آبخوانها را بیش از پیش بالا برد است. منابع آب زیرزمینی یکی از منابع طبیعی حیاتی قابل انکا و به صرفه برای تهیه آب جهت آشامیدن در مناطق شهری و روستایی می‌باشند (Magesh و همکاران ۲۰۱۴). آبهای زیرزمینی با توجه به داشتن ویژگی‌های مشتبی هم چون: دمای ثابت، ترکیبات شیمیایی ثابت، آبودگی کمتر و نوسانات کمتر، در توسعه اقتصادی، سلامت جامعه و تنوع اکولوژیکی یک منطقه نقش بسزایی دارند (Manap و همکاران ۲۰۱۲). در حال حاضر آبهای زیرزمینی حدود ۳۴٪ از مجموع آب سالانه تولیدی را در بر می‌گیرد و از منابع مهم آب شیرین می‌باشد. آب‌های زیرزمینی صورت مستقیم در سطح زمین قابل مشاهده نیستند و با استفاده از تکنیک‌های مختلفی می‌توان به کمیت و کیفیت این منابع دست پیدا کرد. ارزیابی این منابع به طور چشمگیری برای مدیریت پایدار سیستم‌های آب زیرزمینی دارای اهمیت می‌باشد. در سالهای اخیر روش‌های سنجش از دور و GIS برای ترکیب داده‌های مختلف به منظور تعیین مناطق دارای پتانسیل آب زیرزمینی مورد استفاده قرار می‌گیرد. داده‌های ماهواره‌ای اطلاعات سریع و مفیدی را از پارامترهای نظری ژئولوژی، ژئومورفولوژی، کاربری اراضی، خطوطاره و غیره برای پایش وجود و حرکت آب زیرزمینی ارائه می‌کند. (Selvam و همکاران ۲۰۱۴).

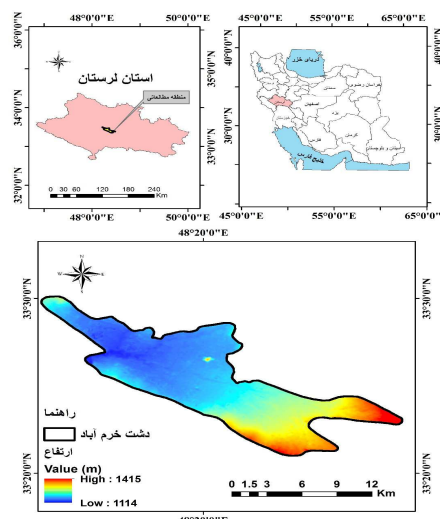


صرفه در تعیین نواحی دارای پتانسیل آب زیرزمینی از طریق ادغام داده های مختلف نظری زمین شناسی، ژئومورفولوژی، شیب و ... می باشد این داده ها منابعی برای تهیه ن نقشه های موضوعی با استفاده از نرم افزار ArcGIS 10.2 و Samson (۲۰۱۴). از دهه های گذشته برخی محققین نظیر، Suribabu و همکاران (۲۰۱۲) و Patil و Gontia (۲۰۱۲) از روش های سنجش از GIS برای کشف و شناسایی مناطق برای تغذیه مصنوعی استفاده کردند. این داده های مختلف به شکل لایه های موضوعی با استفاده از نرم افزار سامانه اطلاعات جغرافیایی (GIS) آماده می شوند. این لایه ها با استفاده از ابزار تحلیل گر فضایی با یکدیگر ترکیب می شوند Selvam و همکاران (۲۰۱۴). ابزار تحلیل گر فضایی با عملکردهای ریاضیاتی و جبری برای توسعه مدل هایی که بسته به موضوع خود دارای مشکلاتی برای محاسبات به صورت دستی می باشند نظری تعیین مناطق دارای پتانسیل آب زیرزمینی مورد استفاده قرار می گیرد Selvam و همکاران (۲۰۱۴). محمدنژاد آرق و همکاران (۱۳۹۲) با استفاده از سیستم اطلاعات جغرافیایی و مدل عوامل چندگانه تاثیرگذار (MIF)، نقشه های مناطق مستعد آب های زیرزمینی در شهرستان ارومیه را تهیه نمودند که این نقشه ها بیانگر پتانسیل بالای آب های زیرزمینی در مناطقی با رسوبات کواترنری و تراکم بالای شیکه زهکشی بود. موسوی و همکاران (۱۳۸۸) هم با تلفیق سنجش از دور و GIS به پتانسیل بابی مناطق مستعد برای تغذیه آب زیرزمینی در تاقدیس کمستان پرداختند. نتایج تحقیق آنها نشان داد که در مناطقی با سازندهای سخت شکسته شده، آبرفت ها و نیز اگر کanal رودخانه همراه با پوشش گیاهی باشد، بهترین مناطق، و مناطقی با سازندهای گچی، مارنی، سیلستونی، شیل و بخشی از آبرفت ها و نیز مناطق کم باران و فاقد پوشش گیاهی به عنوان بدترین نقاط تغذیه آب زیرزمینی ارزیابی شدند. در این مطالعه با استفاده از نرم افزار ArcGIS 10.2 و MIF (۲۰۱۵) ارتفاع آن داشت ۱۴۱۵ و حداقل ارتفاع آن ۱۱۱۴ متر می باشد. متوسط بارش سالانه این داشت ۴۰۷ میلی متر و متوسط دمای آن ۱۲.۷ درجه سانتی گراد می باشد (شکل ۱).

مواد و روش ها

منطقه مطالعاتی:

دشت خرم آباد در مرکز استان لرستان بین طول های جغرافیایی ۴۸ درجه و ۱۳ دقیقه تا ۴۸ درجه و ۲۴ دقیقه شرقی و عرضهای ۳۳ درجه و ۲۱ دقیقه تا ۳۳ درجه و ۳۰ دقیقه شمالی قرار گرفته است. مساحت این دشت ۱۳۳.۲ کیلومتر مربع می باشد. حداقل ارتفاع این دشت ۱۴۱۵ و حداقل ارتفاع آن ۱۱۱۴ متر می باشد. متوسط بارش سالانه این داشت ۴۰۷ میلی متر و متوسط دمای آن ۱۲.۷ درجه سانتی گراد می باشد (شکل ۱).



شکل (۱): موقعیت مکانی شهرستان بروجرد



یازدهمین همایش ملی علوم و مهندسی آبخیزداری ایران
توسعه مشارکتی در مدیریت حوزه‌های آبخیز
11th National Conference on Watershed Management Sciences
and Engineering of Iran
Participatory Development in Watershed Management

۱۳۹۵ فروردین تاریخ ۲۱
April 19-21, 2016



روش تحقیق

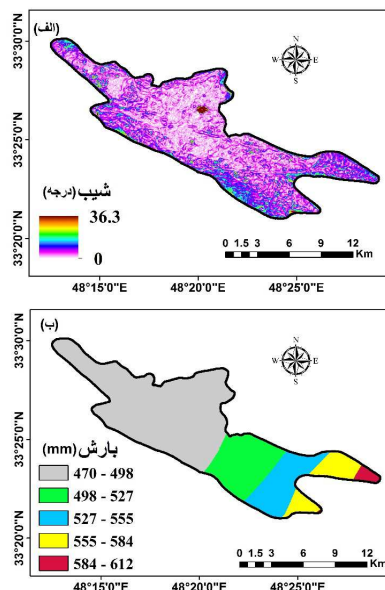
لایه‌های موثر در پتانسیل یابی تغذیه:

شیب:

شیب یکی از مهمترین عوامل موثر در تعیین مکان مناسب برای تغذیه‌ی آبخوان می‌باشد. شیب یک منطقه میزان سرعت نفوذ آن منطقه را نشان می‌دهد. اگر شیب یک منطقه کم باشد در واقع فرصت بیشتری برای نفوذ آب به درون زمین فراهم می‌کند و بالعکس (Samson و Elangovan ۲۰۱۴). بدیهی است که در مناطق هموار و شیب بسیار کم بالاترین نفوذپذیری را خواهد داشت. در دشت خرم آباد بیش از ۸۰٪ کل مساحت دارای شیب بین ۰ تا ۳ درجه می‌باشد که این شرایط ایجاد برای تغذیه مصنوعی بسیار مناسب است. نقشه‌ی شیب این منطقه از نقشه‌ی مدل ارتفاعی رقومی (DEM^۱) با قدرت تفکیک مکانی سی متر به دست آمده و پس از آن به پنج طبقه مانند شکل ۲-الف طبقه‌بندی شد.

بارش:

عمده ترین آب در دسترس برای تغذیه‌ی آب زیر زمینی آب حاصل از بارش منطقه است. بارش دشت خرم آباد در طی ۳۰ سال (۱۳۵۸-۱۳۸۸) به طور متوسط برابر با ۴۰۷.۲ میلی متر می‌باشد که عمده‌ترین نوع بارش آن به شکل باران می‌باشد. نقشه به دست آمده از نقشه هم باران به پنج طبقه از ۴۷۰ تا ۶۱۲ میلی متر مطابق شکل طبقه‌بندی گردید. به منطقه‌ای که کمترین بارش را دریافت می‌کند کمترین امتیاز نسبت به سایر طبقات یعنی امتیاز ۰.۵ و منطقه‌ای که بیشترین بارش را دریافت می‌کند بسیار خوب بوده و امتیاز ۴.۵ داده شد. بیشترین بارش در بخش جنوبی منطقه اتفاق می‌افتد (شکل ۲-ب).



شکل (۲): نقشه شیب (الف) و هم باران (ب) دشت خرم آباد

بافت خاک:

^۱ Digital Elevation Model (DEM)



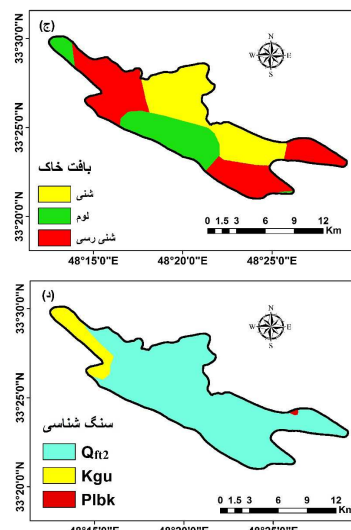
خاک از عوامل موثر بر تعیین نرخ نفوذ آب در زمین می باشد. نفوذ آب در خاک در زمین های رسی و سیلیتی بسیار ناچیز است (علیزاده ۱۳۹۱). طبق نقشه خاک منطقه ۳ نوع بافت متغیر در این دشت قابل مشاهده است این خاکها شامل: شن، لوم و شنی رسی می باشد. عمدۀ خاک منطقه از نوع شنی رسی می باشد که کمترین امتیاز در بافت خاک را به علت نفوذپذیری کمتر نسبت به سایر بافت‌ها و معادل ۱ به آن داده شد (شکل ۳-ج).

نقشه سنگ‌شناسی:

سنگ‌شناسی از عوامل موثر در ایجاد منطقه‌ی مناسب برای تجمع آب می باشد. شرایط هر سنگ در منطقه به عناصر سازنده سنگ یعنی کانی‌های سنگ مرتبط می شود. علاوه بر کانی‌شناسی سنگها عوامل دیگر نظیر وجود درز و شکاف در سنگ‌ها برای ذخیره و تجمع آب موثر می باشند. ظرفیت نفوذ آب در سنگ‌ها با توجه به فرایندهای هوازدگی، سختی سنگ، و شکاف‌ها و شکستگی‌های سنگ مشخص می شود. نقشه سنگ‌شناسی دشت خرم‌آباد از نقشه‌های سازمان زمین‌شناسی کشور با مقیاس ۱:۱۰۰۰۰۰ به دست آمد (شکل ۳-د). در کل منطقه‌ی دشت خرم‌آباد سه نوع سنگ موجود است (جدول ۱). بیشترین مساحت دشت توسط رسوبات کراترنری Qft2، مخروط افکنه با سنگ کم و دره‌های با رسوبات تراصی شکل پوشیده شده است.

جدول ۱- نوع و مشخصات سنگ‌شناسی دشت خرم آباد

نوع سنگ	توضیحات
Qft2	رسوبات کراترنری (Qft2)، مخروط افکنه با سنگ کم و دره‌های با رسوبات تراصی شکل
Kgu	سنگها با تثبیت متناوب سخت ، گسترده، تشکیل کنگلومرا و قابلیت هوازدگی کم - بسترهای سنگی - (سازنده بختیاری)
Plbk	مارن خاکستری مایل به آبی و شیل با زیرلایه‌های نازک سنگ لومی رسی مانند خاک رس (سازنده گورپی)



شکل (۳): نقشه خاک‌شناسی (ج) و سنگ‌شناسی (د) دشت خرم آباد



تراکم گسل:

یکی از بهترین مناطق برای ذخیره‌ی آب درز و شکاف و گسل‌های یک منطقه است. در مناطق با ساختار زمین‌شناسی سخت خط واره‌ها در اثر شکستن و گسل خوردن مناطق و نواحی را ایجاد می‌کنند که این دارای توان نفوذ بالایی را ایجاد می‌کند و منابع آبهای زیرزمینی خیلی خوبی را فراهم می‌کند (Kumar 1999). تراکم گسل در واحد سطح به وسیله‌ی فرمول زیر در منطقه به دست آمد:

$$LD = \sum_{i=1}^{i=n} \frac{Li}{A} \quad (2)$$

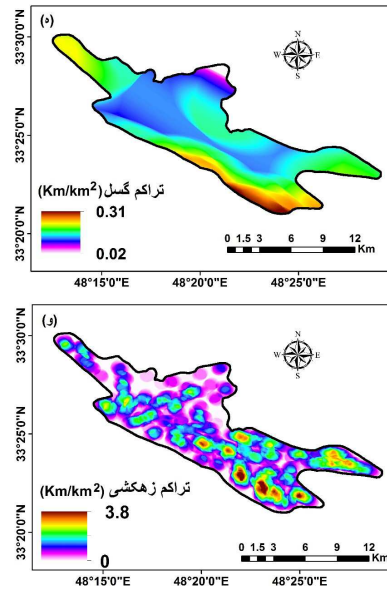
که در اینجا LD تراکم گسل بر حسب متر بر متر مربع، Li طول کل گسل‌ها بر حسب متر و A مساحت منطقه مطالعاتی بر حسب مترمربع است. در دشت خرم آباد یک گسل طویل از سمت شمال غرب تا جنوب شرق منطقه کشیده شده است. تراکم گسل حوزه مطالعاتی به چهار طبقه از ۰.۰۲۹ تا ۰.۳ طبقه‌بندی شد. بیشترین امتیاز در منطقه مربوط به مناطق با تراکم بالا داده شد (شکل ۴-۵).

تراکم زهکشی:

نقشه‌ی تراکم زهکشی حوزه مورد مطالعه با استفاده از ابزار Spatial analysis ترسیم شد. به طور کلی تراکم زهکشی یک منطقه برای هر شبکه‌ی مربعی به وسیله‌ی فرمول زیر به دست می‌آید:

$$DD = \sum_{i=1}^{i=n} \frac{LWS}{AWS} \quad (1)$$

در اینجا DD تراکم زهکشی، LWS طول کل آبراهه‌ها در حوزه آبخیز و AWS مساحت حوزه آبخیز می‌باشد. در منطقه مورد مطالعه تراکم زهکشی از ۰.۳۴ تا ۰.۳۸ کیلومتر بر کیلومتر مربع می‌باشد. بیشترین وزن به بخشی داده می‌شود که دارای کمترین تراکم زهکشی و کمترین وزن مربوط به منطقه با بیشترین تراکم زهکشی داده شد (شکل ۴-۶).



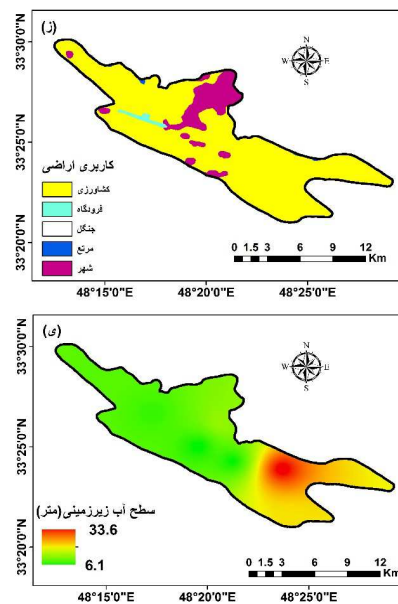
شکل (۴): نقشه تراکم گسل (۵) و تراکم زهکشی (۶) دشت خرم آباد

کاربری اراضی

نقشه کاربری اراضی منطقه نشاندهنده وجود پنج کاربری مختلف در منطقه شامل: کشاورزی، باغ، مرتع، شهر و فرودگاه می‌باشد. حدود ۸۵٪ از مساحت منطقه توسط اراضی کشاورزی پوشیده شده است. بالاترین امتیاز در میان کاربری‌ها به کاربری کشاورزی برای نفوذپذیری بالا و شیب کم آن داده شد (شکل ۴-ز).

سطح آب زیرزمینی:

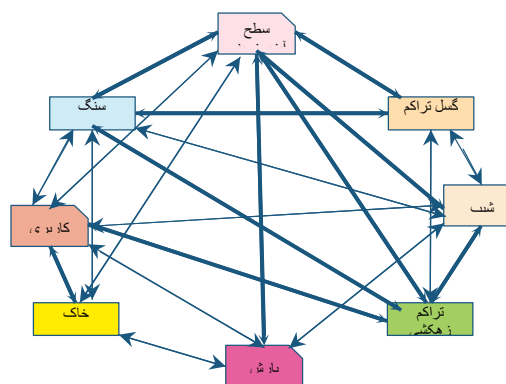
سطح آب زیرزمینی در دوره‌های خشک در عمق بیشتری قرار می‌گیرد و پس از پایان یافتن باران‌های فصلی به تدریج بالا می‌آید. این بالا آمدن و پایین رفتن سطح آب به مقدار، طول و شدت بارش و عمق هوازدگی، بازدهی ویژه سازندها و شیب کلی سازندهای جوان در شبکه‌های زهکشی بستگی دارد (Samson و همکاران ۲۰۱۴). در منطقه مطالعاتی ۷ چاه پیزومتری با ویژگی‌هایی مطابق جدول وجود دارد که سطح آن در ماه‌های اردیبهشت و آبان اندازه‌گیری شده است. با استفاده از این چاه‌ها نقشه‌ی سطح آب زیرزمینی در آبان ماه رسم گردید و نهایتاً نقشه به ۵ طبقه مطابق شکل طبقه‌بندی شد. بیشترین امتیاز در میان طبقات به طبقه‌ای داده شد که دارای کمترین سطح آب زیرزمینی بود چرا که این مناطق دارای بیشترین توان برای نگه داشت و ذخیره‌ی آب را دارا هستند (شکل ۴-ی).



شکل (۵): نقشه کاربری اراضی (ز) و سطح آب زیرزمینی (ی) دشت خرم آباد

روش محاسبه‌ی وزن در عوامل چندگانه تاثیرگذار (MIF) :

تعیین امتیازات اولیه در این روش از طریق اثرات متقابل نشان داده شده در طرح شماتیکی زیر که توسط Shaban و همکارانش در سال ۲۰۰۱ طراحی گردید تعیین می‌شود (شکل ۶). در این شکل نوع اثر زیاد و کم عوامل بر یکدیگر نشان داده شده است. بر اساس رابطه میان عوامل هر عامل بدین صورت به دست می‌آید که بسته به تاثیری که هر عامل بر عامل دیگری دارد مقدار ۱ (تاثیر زیاد) یا ۰.۵ (تاثیر کم) به عامل موردنظر داده می‌شود. مجموع این مقادیر وزن هر عامل می‌باشد (جدول ۳). از این امتیازات برای محاسبه‌ی اثر نهایی در مرحله‌ی بعدی محاسبات استفاده می‌گردد.



شکل (۶): نمودار تاثیرگذاری لایه‌ها بر یکدیگر



اثرگذاری لایه ها در پتانسیل یابی تغذیه با عوامل چندگانه تاثیرگذار: (MIF)

مکان یابی مناطق مستعد تغذیه آب زیرزمینی شامل ۴ مرحله اصلی می‌باشد: گام نخست شناسایی لایه‌های موثر در شناخت لایه‌های مربوط به پتانسیل یابی آب زیرزمینی است. مرحله دوم پردازش لایه‌ها برای اطمینان از یکسان بودن سیستم مختصات، کیفیت وضوح، تعیین امتیازات انطباقی و محاسبه وزنها می‌باشد. پس از آن سومین مرحله ترکیب تمام لایه‌ها دارای امتیازات وزنی به وسیله‌ی ابزار ArcGIS 10.2 Spatial analysis در نرم افزار MIF می‌باشد. مرحله‌ی نهایی طبقه‌بندی نقشه خروجی به ۵ طبقه (کم، متوسط، متوجه تا خوب، خوب و خیلی خوب) می‌باشد. میزان و وضعیت آبهای زیرزمینی به دلیل تفاوت در وضعیت لایه‌های اثیرگذار در هرمنطقه متفاوت می‌باشد. آنچه واضح است این است که تراکم زهکشی، شرایط سنگ‌شناسی و خاک‌شناسی منطقه در شکل‌گیری و میزان حجم آب زیرزمینی به صورت مستقیم اثیرگذار است. با این وجود، برخی عوامل نظیر کاربری اراضی و نرخ نفوذ و بارش از عوامل موثر در میزان حجم آب زیرزمینی است. در این مطالعه ۸ لایه لایه شیب، تراکم گسل، تراکم زهکشی، سنگ‌شناسی، خاک‌شناسی، بارش، سطح آب زیرزمینی، کاربری اراضی برای تعیین مناطق مستعد تغذیه تهیه گردید. به هر کدام از لایه‌های موثر در ایجاد شرایط مناسب برای تغذیه یکسری وزن‌های منطقی داده شد. هر کدام از این عوامل دارای طبقات مختلف با اثیرگذاری مختلف بوده و بسته به اثری که هر کدام از لایه‌ها بر تعیین مناطق مستعد تغذیه دارد داده شد. مقدار عددی هر طبقه، عددی بین ماکریم و مینیم اثیرگذاری آن لایه در نظر گرفته شد. برای مثال تراکم گسل منطقه پس از ایجاد به چهار کلاس طبقه-بندي شد. کمترین تراکم نشان‌دهنده‌ی پتانسیل خیلی کم و بیشترین تراکم نشان‌دهنده‌ی پتانسیل بالا می‌باشد. تراکم‌های میانی در دامنه‌ی ۰۰۲۹ تا ۰۰۳۰ کیلومتر مربع قرار می‌گیرد. محدوده‌ی امتیازی سنگ‌شناسی به ترکیب سنگ بستگی دارد. بالاترین امتیاز به سنگ با بالاترین توان نگهداری و کمترین امتیاز مربوط به سنگ با کمترین توان نگهداشت بود. مشابه این موارد سایر لایه‌ها نیز از کم تا زیاد و با امتیاز بین ۱-۸ رتبه بندی شدند. اکنون برای ارزیابی جامع هر عامل اثیرگذار بر مکان‌یابی مناطق مستعد تغذیه، امتیاز هر طبقه از عامل مورد نظر در امتیاز مربوط به اثیرگذاری آن بر سایر عوامل ضرب شده و وزن نهایی هر لایه مطابق رابطه شماره (۳) به دست می‌آید (Shaban و همکاران ۲۰۰۱؛ Shaban و همکاران ۲۰۰۳).

$$W = \frac{\sum(A * B)}{(\sum(\sum A * B)) * 100} \quad (4)$$

W وزن نهایی، A امتیازات داده شده به هر طبقه از عوامل موثر و B مجموع اثرات زیاد و کم لایه‌ها بر یکدیگر می‌باشد.

تهیه نقشه پتانسیل تغذیه آب زیرزمینی:

پس از تعیین امتیاز هر طبقه در هر لایه مجزا تمامی لایه‌ها وزن‌گذاری شده و پس از آن تمام لایه‌ها به وسیله‌ی ابزار ماشین حساب رستری در نرم افزار ArcGIS 10.2 با اعمال ضریب نهایی به دست آمده با یکدیگر ترکیب شده و نقشه پتانسیل مناطق برای تغذیه مشخص می‌گردد.

نتایج و بحث

با توجه به ویژگی‌های لایه‌های شیب، تراکم گسل، تراکم زهکشی، کاربری اراضی، سنگ‌شناسی، خاک، بارش و سطح آب، طبقه‌بندی توصیفی و دامنه‌ی هریک از این عوامل اثیرگذار به همراه وزن اختصاص یافته به آنها در جدول شماره (۲) ارائه گردیده است.



یازدهمین همایش ملی علوم و مهندسی آبخیزداری ایران
توسعه مشارکتی در مدیریت حوزه‌های آبخیز
**11th National Conference on Watershed Management Sciences
and Engineering of Iran**
Participatory Development in Watershed Management

۱۳۹۵ فروردین تاریخ ثبت ازدیگشت
April 19-21, 2016



جدول شماره(۲): وزن داده شده به عوامل تاثیرگذار

A	دامنه عوامل	مقیاس توصیفی	عامل
8	۶-۰	خیلی زیاد	سطح آب زیرزمینی
6.5	۶-۱۲	زیاد	
4	۱۲-۱۸	متوسط تا زیاد	
2.5	۱۸-۲۴	متوسط	
1	۲۴-۳۳	کم	
6	۰.۳-۰.۱۸	زیاد	تراکم گسل
3	۰.۱۸-۰.۱۵	متوسط	
1	۰.۱۵-۰.۱۲	کم	
0.5	۰.۱۲-۰.۰۲	خیلی کم	
8	کشاورزی	زیاد	کاربری اراضی
6	مرتع	زیاد-متوسط	
4	باغ	متوسط	
1	شهر	کم	
0.5	فرودگاه	خیلی کم	سنگشناسی
8	Qft2	زیاد	
5	Kgu	متوسط	
2	Plbk	کم	
5	۳.۸-۱.۳	زیاد	تراکم زهکشی
3	۱.۳-۰.۸۳	متوسط	
2	۰.۸۳-۰.۳۴	کم	
0.5	۰-۰.۳۴	خیلی کم	
4.5	۶۱۲-۵۸۴	خیلی زیاد	بارش
3.5	۵۸۴-۵۵۵	زیاد	
2.5	۵۵۵-۵۲۷	متوسط	
1.5	۵۲۷-۴۹۸	کم	
0.5	۴۹۸-۴۷۰	خیلی کم	
3.5	شن	زیاد	خاک
2.5	لوم	متوسط	
1	شنی-رسی	کم	
7.5	۰-۱	خیلی زیاد	شب
6	۱-۳	زیاد	
5	۳-۷	زیاد-متوسط	
2	۷-۱۵	متوسط	
0.5	۱۵-۳۶	متوسط-کم	



مطابق شکل ۶ عامل سطح آب زیرزمینی در بین سایر عوامل بالاترین تاثیر را با چهار اثر زیاد و دو اثر کم را دارد. به عبارت دیگر این عامل برای تعیین منطقه مناسب برای تغذیه آبهای زیرزمینی به میزان بالا تحت تاثیر عوامل بارش، تراکم گسل، ساختار سنگشناسی و شبیب و به میزان کم تحت تاثیر خاک و کاربری اراضی می‌باشد بنابراین بازه‌ی امتیاز دهی در این بخش از ۱ تا ۶ می‌باشد. اثر هر عامل موثر به همراه رتبه‌های توصیفی و امتیازات مربوط به آن در جدول شماره ۳ ارائه شده است.

جدول ۳: امتیازدهی بر اساس اثر لایه‌ها بر یکدیگر

عامل	اثر زیاد	اثر کم	مجموع اثرات (B)
سطح آب زیرزمینی	4	2	6
تراکم گسل	2	2	3
کاربری اراضی	2	4	4
سنگشناسی	3	3	4.5
تراکم زهکشی	4	1	4.5
بارش	1	3	2.5
خاک	1	4	2.5
شبیب	2	4	4
مجموع کل لایه‌ها			۳۱

نهایتاً وزن نهایی محاسبه شده در هر لایه در جدول (۴) ارائه شده است:

پس از تعیین اوزان نهایی نقشه‌ی پتانسیل تغذیه آب زیرزمینی در این منطقه از ترکیب لایه‌های مختلف نظیر شبیب، کاربری اراضی، خاک، سنگشناسی، تراکم گسل، تراکم زهکشی، سطح آب زیرزمینی و بارش تهیه گردید (شکل ۷). نقشه نهایی به دست آمده مطابق مقاله Elangovan و Samson (۲۰۱۴) به پنج طبقه کم، متوسط، متوسط تا خوب، خوب و خیلی خوب طبقه‌بندی شد که هر کدام از آنها به ترتیب دارای مساحتی معادل ۱۶.۶ کیلومترمربع (٪۱۳)، ۲۹.۷۲ کیلومتر مربع (٪۲۲)، ۲۰.۷۱ کیلومترمربع (٪۱۶)، ۳۱.۲۵ کیلومترمربع (٪۲۳) و ۳۵ کیلومترمربع (٪۲۶) بودند. به طور کلی ۶۵٪ از کل دشت خرم آباد برای تغذیه آبخوان دارای شرایط متوسط تا خیلی خوب می‌باشد. برای بررسی صحت نقشه، از میان ۷ چاه مشاهداتی ۴ چاه به صورت تصادفی در کل دشت انتخاب شد و سطح آب آن با طبقه پتانسیل به دست آمده مقایسه شد. نتایج نشان دهنده وجود تطابق بین سطح آب و وضعیت پتانسیل منطقه بود (جدول ۴). تفسیر پتانسیل تغذیه با توجه به سطح آب های زیرزمینی در چاه انتخاب شده و رتبه اختصاص داده شده به آنها ارزیابی شده است. سطح آب زیرزمینی در چاه‌های مختلف علاوه بر نشان دادن میزان آب در دسترس بیانگر نیازمندی فضای خالی از سطح زمین تا سطح آب نیز می‌باشد که این فضای خالی یکی از عوامل موثر در تعیین مکان مناسب برای تغذیه آبخوان است به نحوی که کمترین سطح آب دارای بالاترین فضا برای تغذیه بوده و در نتیجه بالاترین امتیاز را دریافت می‌کند. در این امتیازدهی رتبه ۵ بیانگر سطح آب ۶-۰ و رتبه ۴ سطح آب ۱۲-۶.۱، رتبه ۳ سطح آب ۱۸-۱۲.۱، رتبه ۲ سطح آب ۲۴-۱۸.۱ و رتبه ۱ بیانگر سطح آب بیش از ۲۴ متر می‌باشد.



یازدهمین همایش ملی علوم و مهندسی آبخیزداری ایران
توسعه مشارکتی در مدیریت حوزه‌های آبخیز

**11th National Conference on Watershed Management Sciences
and Engineering of Iran**
Participatory Development in Watershed Management

۱۳۹۵ فروردین تاریخ پایان نشست
April 19-21, 2016



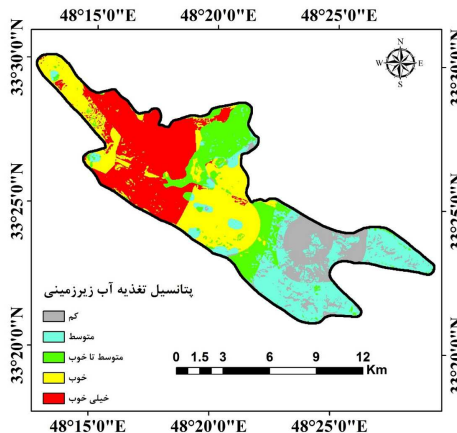
جدول ۴: وزن نهایی هر عامل برای تغذیه آبهای زیرزمینی

عامل	مقیاس توصیفی	وزن (A)	امتیاز (B)	(A*B)	$\sum(A^*B)$	اثر عامل بر پتانسیل تغذیه آب زیرزمینی
سطح آب زیرزمینی	خیلی زیاد	8	6	48	132	۲۷
	زیاد	6.5		39		
	متوسط	4		24		
	کم	2.5		15		
	خیلی کم	1		6		
تراکم گسل	زیاد	6	3	18	31.5	6.5
	متوسط	3		9		
	کم	1		3		
	خیلی کم	0.5		1.5		
	زیاد	8	4	32		16
کاربری اراضی	زیاد-متوسط	6		24		
	متوسط	4		16		
	کم	1		4		
	خیلی کم	0.5		2		
	زیاد	8	4.5	36	67.5	14.45
سنگ شناسی	متوسط	5		22.5		
	کم	2		9		
	زیاد	5	4.5	22.5		10
تراکم زهکشی	متوسط	3		13.5		
	کم	2		9		
	خیلی کم	0.5		2.25		
	زیاد	8.75	2.5	11.25	31.25	6
بارش	زیاد	3.5		8.75		
	متوسط	2.5		6.25		
	کم	1.5		3.75		
	خیلی کم	0.5		1.25		
	زیاد	3.5	2.5	8.75	17.5	3.74
خاک	متوسط	2.5		6.25		
	کم	1		2.5		
	خیلی زیاد	7.5	4	30	84	17.98
شیب	زیاد	6		24		
	متوسط	5		20		
	متوسط	2		8		
	متوسط-کم	0.5		2		



جدول ۴- سطح آب زیرزمینی و پتانسیل تغذیه

نام محل	طول جغرافیایی	عرض جغرافیایی	سطح آب بر حسب متر	امتیاز	پتانسیل تغذیه مصنوعی
چگاهروشی	۴۸.۱۴	۳۲.۲۸	۹.۰۵	۴	خوب
سالی	۴۸.۲۴	۳۲.۲۱	۲۰.۷۱	۲	متوسط
دارایی	۴۸.۲۱	۳۲.۲۴	۶.۳۴	۴	خوب
ناصرود	۴۸.۲۳	۳۲.۲۳	۳۳.۶۳	۱	کم



شکل(۷): نقشه پتانسیل تغذیه آب زیرزمینی دشت خرم آباد

بحث و نتیجه گیری

با تهییه نقشه‌ی پتانسیل مشخص گردید که بهترین منطقه برای تغذیه مصنوعی در بخش شمال و شمال غربی دشت خرم آباد قرار دارد. بالابودن پتانسیل این قسمت از منطقه را می‌توان به داشتن فضای کافی برای نفوذ به واسطه‌ی سطح پایین چاهها در این منطقه و وضعیت خاک و سنگ‌شناسی مناسب با نفوذپذیری بالا، شیب و شرایط کاربری مناسب برای انجام تغذیه آب زیرزمینی مناسب نسبت داد. ازانجاییکه بالاترین اثرگذاری در میان لایه‌ها مربوط به لایه‌ی سطح آب زیرزمینی بود در بخش جنوبی دشت خرم آبد به علت بالا بودن سطح آب زیرزمینی و کم بودن فضای خالی برای تغذیه، بخش جنوبی حوزه دارای کمترین توان برای تغذیه آب-های زیرزمینی است. تعیین نقشه پتانسیل تغذیه آب زیرزمینی با استفاده از روش عوامل چندگانه تاثیرگذار (MIF) و سیستم اطلاعات جغرافیایی (GIS) روشنی مناسب، کم هزینه، آسان و سریع می‌باشد. برای مکان‌یابی مناطق مستعد تغذیه آبخوان روش‌های دیگری نیز همچون روش بولین، همپوشانی لایه‌ها وجود دارد. در روش بولین برخلاف روش MIF همه‌ی طبقات در یکی از دو گروه ارزشی صفر و یک قرار می‌گیرند و طبقات حد واسطی وجود ندارد در واقع در این روش اهمیت نسبی سایر طبقات اثرگذار نادیده گرفته می‌شوند در حالیکه در روش MIF به هر طبقه از عوامل بر اساس اثرگذاری نسبی امتیازی داده شده و اهمیت هیچ یک از طبقات می‌شوند گرفته نمی‌شود. در روش همپوشانی لایه‌ها نیز با وجود اینکه به هر طبقه بر اساس میزان اثرگذاری آنها امتیازاتی داده می‌شود اما به اثرات متقابل میان لایه‌ها در تعیین پتانسیل مناطق اهمیت داده نمی‌شود. در واقع روش اثرگذاری چند جانبه چارچوبی نوین برای تعیین اهمیت نسبی متغیرهای اثرگذار ارائه می‌دهد به عبارتی بر هر لایه علاوه بر وزن‌های غیر یکنواخت مربوط به طبقات



مختلف بر اساس اهمیت آنها در تعیین مناطق مستعد تغذیه، ضریب اثر گذاری بر لایه‌های دیگر نیز اعمال می‌شود که از این طریق شرایط در نظر گرفته شده به شرایط واقعی نزدیک‌تر شده و نتایج به دست آمده قابل قبول‌تر خواهد بود. نتایج به دست آمده از این مطالعه می‌تواند به عنوان راهنمای مفیدی جهت تعیین مناطق مناسب برای تغذیه آب‌های زیرزمینی با دقت و سرعت بالاتر و کاهش هزینه‌ها قرار گیرد. این روش یک روش تجربی و کاربردی با قابلیت انعطاف بالاست که محدودیتی برای تعیین پتانسیل آب زیرزمینی در هیچ منطقه‌ای نداشته و می‌تواند برای مناطق وسیع‌تر با تپوگرافی ناهموار نیز مورد استفاده قرار بگیرد (Magesh) و همکاران (۲۰۱۲).

منابع:

علیزاده، امین (۱۳۹۱). کاربرد اصول هیدرولوژی کاربردی. دانشگاه امام رضا. چاپ سی و ششم، ویرایش ششم.
محمدنژاد آروق، اصغری، و محمدزاده، وحید، صیاد، بهاء الدین. (۱۳۹۲). تهیه نقشه مناطق مستعد آب‌های زیرزمینی با استفاده از GIS و MIF (مطالعه موردي: شهرستان ارومیه). پژوهش‌های ژئومورفو‌لوزی کمی، سال دوم، شماره ۳، ۴۸-۵۸.

موسوی، چیت سازان، میرزایی، شبان و محمدی سیدفاطمه، منوچهر، یحیی، مجتبی بهزاد، ۱۳۸۸: تلفیق سنجش از دور و منظور پتانسیل یابی مناطق مناسب جهت تغذیه آب زیرزمینی، مطالعه موردي: محدوده تاقدیس کمستان. همایش ژئوماتیک ۱۳۸۸. تهران.

Gontia, N. K., and Patil, P. Y. (2012). Assessment of groundwater recharge through rainfall and water harvesting structures in Jamka microwatershed using remote sensing and GIS. *Journal of the Indian Society of Remote Sensing*, 40(4), 639–648.

Kumar A (1999). Sustainable utilization of water resources in watershed perspective—a case study in Alaunja watershed, Hazaribagh, Bihar. *Photonirvachak J Indian Soc Remote Sens* 27:13–22.

Magesh NS, Chandrasekar N and Soundranayagam JP (2012) Delineation of groundwater potential zones in Theni district, Tamil Nadu, using remote sensing, GIS and MIF techniques. *Geosci Front* 3(2):189–196

Manap , M.A., Nampak , H., Pradhan , B., Lee , S., Sulaiman , W.N.A. and Ramli , M.F., Application of probabilistic-based frequency ratio model in groundwater potential mapping using remote sensing data and GIS. *Arab J Geosci.* (2012).

Selvam s, Manimaran G, Sivasubramanian P and Seshunarayana T (2014a), Geoenvironmental resource assessment using remote sensing and GIS: a case study from southern coastal region. *Res J Recent Sci* 3(1):108:115.

Selvam s, Magesh N.S, Chidambaram, Rajamanickam M and Sashikkumar M.C (2014b) A GIS based identification of groundwater recharge potential zone using RS and IF technique, case study: Ottapidaram taluk, Tuticorin district, Tamil Nadu. *Environ Earth Sci* (2015) 73:3785-3799.

S. Samson and K. Elangovan 2014. Delineation of Groundwater Recharge Potential Zones in Namakkal District, Tamilnadu, India Using Remote Sensing and GIS, DOI 10.1007/s12524-014-0442-0.

Shaban A, Khawlie M, Bou Kheir R and Abdallah C (2001) Assessment of road instability along a typical mountainous road using GIS and aerial photos, Lebanon- eastern Mediterranean. *Bull Eng Geol Environ* 60:93–101.

Shaban A (2003) Studying the hydrogeology of occidental Lebanon: utilization of remote sensing. Etude de phydrogeologie du Liban occidental: utilization of de la deledection. These de doctorates, University Bordeaux 1, p 202.



یازدهمین همایش ملی علوم و مهندسی آبخیزداری ایران

توسعه مشارکتی در مدیریت حوزه‌های آبخیز

11th National Conference on Watershed Management Sciences
and Engineering of Iran
Participatory Development in Watershed Management



۱۳۹۵ فروردین تغایر ۲
April 19-21, 2016

Shaban, A., Khawlie, M., and Abdallah, C. (2006). Use of remote sensing and GIS to determine recharge potential zone: the case of occidental Lebanon. *Hydrogeology Journal*, 14(4)433–443.

Suribabu, C. R., Bhaskar, J., and Neelakantan, T. R. (2012). Land use/ cover change detection of Tiruchirapalli City, India, using integrated remote sensing and GIS tools. *Journal of the Indian Society of Remote Sensing*, 40(4), 699–708.